

Список использованных источников

1. Лыков, А.В. Теория сушки / А.В. Лыков. – Москва: Энергия, 1968, - 469 с.
2. Красников, В. В. Кондуктивная сушка / В. В. Красников. – Москва: Энергия, 1973, - 365 с.
3. Филоненко, Г.К. Сушильные установки / Г.К. Филоненко, П.Д. Лебедев. – Москва: Госэнергоиздат, 1952, - 256 с.
4. Ольшанский, А. И. Некоторые закономерности кинетики сушки влажных материалов // А. И. Ольшанский, В. И. Ольшанский, Е. Ф. Макаренко, - Инженерно-физический журнал / Минск – июль-август 2007. – т. 80, – № 4, – С. 143-146.
5. Куц, П.С. Некоторые закономерности тепловлагообмена и приближенные методы расчета кинетики процесса сушки влажных материалов // П.С. Куц, А. И. Ольшанский, - Инженерно-физический журнал / Минск –1977. – т. 32, – № 6, – С. 1007-1014.

SUMMARY

Methods of calculation process of dryings of damp materials for the period of the falling speed, based on the generalized characteristics process of dryings - relative speed of the drying, generalized and relative time of drying are considered.

УДК 539.3

**СВОБОДНЫЕ КОЛЕБАНИЯ МНОГОСЛОЙНОЙ НЕКРУГОВОЙ ЦИЛИНДРИЧЕСКОЙ ОБОЛОЧКИ, СОСТОЯЩЕЙ ИЗ ВЯЗКОУПРУГИХ СЛОЕВ**

*Е.А. Корчевская*

Постановка задачи. Рассматривается тонкая некруговая цилиндрическая оболочка постоянной длины  $L$ , состоящая из  $N$  изотропных вязкоупругих слоев, характеризующихся толщиной  $h_k$ , модулем Юнга  $E_k$ , плотностью  $\rho_k$  и коэффициентом Пуассона  $\nu_k$ .

В качестве исходных могут быть использованы уравнения [1], основанные на гипотезах, сформулированных Э.И. Григолюком и Г.М. Куликовым [2], которые отличаются от классических уравнений полубезмоментной теории тонких оболочек наличием дополнительных слагаемых, учитывающих поперечные сдвиги слоев. Отбрасывание последних приводит к уравнениям для изотропной оболочки с физическими характеристиками, равными осредненным по толщине параметрам слоистой исходной оболочки и может давать существенные погрешности при расчетах:

$$\begin{cases} \frac{Eh^3}{12(1-\nu^2)} \eta_3 \left( 1 - \frac{\theta h^2}{b} \Delta^* \right) \Delta^* \Delta^* \chi^* + \frac{1}{R_2(\alpha_2)} \frac{\partial^2 F^*}{\partial \alpha_1^2} - \rho h \Omega^2 W^* = 0, \\ \Delta^* \Delta^* F^* - \frac{Eh}{R_2(\alpha_2)} \frac{\partial^2 W^*}{\partial \alpha_1^2} = 0, \\ W^* = \left( 1 - \frac{h^2}{b} \Delta^* \right) \chi^*. \end{cases} \quad (1)$$

Здесь  $\Delta^*$  – оператор Лапласа в криволинейной системе координат  $\alpha_1, \alpha_2, E, \nu, \rho$  – осредненные модуль Юнга, коэффициент Пуассона и плотность материала

соответственно,  $h$  – толщина оболочки,  $F^*, \chi^*$  – функции напряжений и перемещений,  $W^*$  – нормальный прогиб,  $\Omega$  – частота собственных колебаний,  $f_0(\alpha_3), f_k(\alpha_3), g(\alpha_3)$  – функции, зависящие от поперечной координаты  $\alpha_3$ , параметры  $\eta_3, \theta, b, \gamma_k, \eta_1, \eta_2, \pi_{1k}, \pi_{2k}, \pi_{3k}, \zeta_k, \zeta_n, c_{13}, c_{12}, \lambda_{kn}, \lambda_k, G_k,$

$q_{44}, \tilde{G}_k, \tilde{c}_k, c_k$  определяются по формулам [1, 2]:

$$h = \sum_{k=1}^N h_k, \quad \nu = \left( \sum_{k=1}^N \frac{E_k h_k \tilde{c}_k}{1 - \nu_k^2} \right)^{-1} \sum_{k=1}^N \frac{\nu_k E_k h_k \tilde{c}_k}{1 - \nu_k^2}, \quad E = \frac{1 - \nu^2}{h} \left( \sum_{k=1}^N \frac{E_k h_k \tilde{c}_k}{1 - \nu_k^2} \right)$$

$$\gamma_k = \frac{E_k h_k \tilde{c}_k}{1 - \nu_k^2} \left( \sum_{k=1}^N \frac{E_k h_k \tilde{c}_k}{1 - \nu_k^2} \right)^{-1}, \quad \rho = \sum_{k=1}^N \rho_k \zeta_k, \quad \theta = 1 - \frac{\eta_2^2}{\eta_1 \eta_3}, \quad b = \frac{12(1 - \nu^2) q_{44}}{E h \eta_1}$$

$$\eta_1 = \sum_{k=1}^N \zeta_k^{-1} \pi_{1k} \gamma_k - 3c_{12}^2, \quad \eta_2 = \sum_{k=1}^N \zeta_k^{-1} \pi_{2k} \gamma_k - 3c_{13} c_{12},$$

$$\eta_3 = 4 \sum_{k=1}^N (\zeta_k^2 + 3\zeta_{k-1} \zeta_k) \gamma_k - 3c_{13}^2, \quad \frac{1}{12} h^3 \pi_{1k} = \int_{\delta_{k-1}}^{\delta_k} g^2(\alpha_3) d\alpha_3,$$

$$\frac{1}{12} h^3 \pi_{2k} = \int_{\delta_{k-1}}^{\delta_k} \alpha_3 g(\alpha_3) d\alpha_3, \quad \frac{1}{2} h^2 \pi_{3k} = \int_{\delta_{k-1}}^{\delta_k} g(\alpha_3) d\alpha_3, \quad h \zeta_k = h_k, \quad h \zeta_n = \delta_n (\eta=0, k),$$

$$c_{13} = \sum_{k=1}^N (\zeta_{k-1} + \zeta_k) \gamma_k, \quad c_{12} = \sum_{k=1}^N \zeta_k^{-1} \pi_{3k} \gamma_k,$$

$$\lambda_{kn} = \int_{\delta_{k-1}}^{\delta_k} f_k(\alpha_3) f_n(\alpha_3) d\alpha_3, \quad (n=0, k)$$

$$\lambda_k = \int_{\delta_{k-1}}^{\delta_k} f_0^2(\alpha_3) d\alpha_3, \quad f_0(\alpha_3) = \frac{1}{h^2} (\alpha_3 - \delta_0)(\delta_N - \alpha_3)$$

$$g(\alpha_3) = \int_0^{\alpha_3} f_0(\alpha_3) d\alpha_3$$

$$f_k(\alpha_3) = \frac{1}{h_k^2} (\alpha_3 - \delta_{k-1})(\delta_k - \alpha_3), \quad G_k = E_k / [2(1 + \nu_k)], \quad \tilde{G}_k = G_k \tilde{c}_k,$$

$$q_{44} = \left[ \sum_{k=1}^N \left( \lambda_k - \frac{\lambda_{k0}^2}{\lambda_{kk}} \right) \right]^2 / \left[ \sum_{k=1}^N \left( \lambda_k - \frac{\lambda_{k0}^2}{\lambda_{kk}} \right) \tilde{G}_k^{-1} \right] + \sum_{k=1}^N \frac{\lambda_{k0}^2}{\lambda_{kk}} \tilde{G}_k$$

$$\tilde{c}_k = 1 - c_k, \quad c_k = \int_0^{+\infty} R_k(s) e^{-i\Omega s} ds \quad (2)$$

В формулах (2)  $R_k(s)$  – ядро релаксации напряжений материала для  $k$ -ого слоя, а  $\Omega = \omega + i\alpha$ , где  $i = \sqrt{-1}$ ,  $\omega$  – фундаментальная частота свободных колебаний,  $\alpha$  – декремент колебаний.

Перепишем уравнения (1) в безразмерном виде:

$$\begin{cases} \varepsilon^4 (1 - \varepsilon^3 \tau \Delta) \Delta^2 \chi + k(\varphi) \frac{\partial^2 F}{\partial s^2} - \lambda (\chi - \varepsilon^2 \kappa \Delta \chi) = 0, \\ \varepsilon^4 \Delta^2 F - k(\varphi) \frac{\partial^2}{\partial s^2} (\chi - \varepsilon^2 \kappa \Delta \chi) = 0, \end{cases} \quad (3)$$

где  $\varepsilon^8 = h^2 \eta_3 / [12 R^2 (1 - \nu^2)]$  – малый параметр, характеризующий тонкостенность оболочки,  $\Delta$  – оператор Лапласа в криволинейной системе координат  $\varphi = \alpha_2 / R$  и  $s = \alpha_1 / R$ ,  $F = F^* / (\varepsilon^4 E h R^2)$ ,  $\chi = \chi^* / R$  – безразмерные функции напряжений и перемещений соответственно,  $\lambda = (\rho R^2) / (E \varepsilon^4) \Omega^2$  – искомый частотный параметр,  $k(\varphi)$  – переменная кривизна.

Здесь  $\tau, \kappa$  – параметры, характеризующие поперечные сдвиги:

$$K / \pi^2 = \varepsilon^2 \kappa, \quad K \theta / \pi^2 = \varepsilon^3 \tau, \quad \kappa, \tau \sim 1 \text{ при } \varepsilon \rightarrow 0, \quad \text{где } K = \pi^2 h^2 / (b R^2).$$

Граничные условия имеют вид:

$$F = \Delta F = \chi = \Delta \chi = \Delta^2 \chi = 0, \quad \text{при } s=0, l, \quad l = L/R. \quad (4)$$

Задача состоит в определении параметра  $\lambda$ , для которого краевая задача (3), (4) имеет ненулевое решение.

Построение решения. Считаем, что локализация собственных колебаний происходит в окрестности некоторой “слабой” образующей  $\varphi = \varphi_0$ . Введем растяжение масштаба в окрестности этой образующей:

$$\xi = (\varphi - \varphi_0) \varepsilon^{-1/2}$$

Согласно [3] решение будем искать в виде:

$$\chi = \chi_m(\varphi) \sin(m\pi s/l), \quad F = \Phi_m(\varphi) \sin(m\pi s/l), \quad m=1, 2, \dots, \quad (5)$$

где

$$\{\chi_m, \Phi_m\} = \sum_{j=0}^{\infty} \varepsilon^{j/2} \{\chi_{mj}(\xi), f_{mj}(\xi)\} \exp \left\{ i \left( \varepsilon^{-1/2} q \xi + \frac{1}{2} a \xi^2 \right) \right\}, \quad \text{Im } a > 0, \quad (6)$$

$$\lambda = \lambda_0 + \varepsilon \lambda_1 + \varepsilon^2 \lambda_2 + \dots, \quad (7)$$

$$k(\varphi) = k(\varphi_0) + \varepsilon^{1/2} k'(\varphi_0) \xi + \frac{1}{2} \varepsilon k''(\varphi_0) \xi^2 + \dots \quad (8)$$

В выражении (6) параметр  $q$  характеризует изменяемость решения в окружном направлении, а мнимая часть числа  $a$ , характеризующего скорость затухания

амплитуды волн при удалении от линии  $\varphi = \varphi_0$ , должна быть положительной.

Функции  $\chi_{mj}$ ,  $f_{mj}$  являются полиномами по  $\xi$ .

Подставляя (5)–(8) в (3), (4), получим последовательность уравнений:

$$\sum_{k=0}^j \mathbf{A}_k \mathbf{X}_{j-k} = 0, \quad j = 0, 1, 2, \dots \quad (9)$$

относительно вектор-функции  $\mathbf{X}_j = (\chi_{mj}, f_{mj})^T$ .

Матрица  $\mathbf{A}_0$  имеет вид:

$$\mathbf{A}_0 = \begin{bmatrix} q^4 - \lambda_0(1 + \kappa q^2) & -k(\varphi_0)(\pi m/l)^2 \\ k(\varphi_0)(\pi m/l)^2(1 + \kappa q^2) & q^4 \end{bmatrix},$$

а элементы матрицы  $\mathbf{A}_j$  при  $j \geq 1$  выражаются через производные по  $q$  и  $\varphi_0$   $j$ -го порядка элементов матрицы  $\mathbf{A}_0$  [3].

Из условия существования нетривиального решения системы (9) при  $j = 0$ , находим формулу для частотного параметра нулевого приближения:

$$\lambda_0(q, \varphi_0, m) = q^4 / (1 + \kappa q^2) + (k^2(\varphi_0)(\pi m/l)^4) / q^4 \quad (10)$$

Минимизируя  $\lambda_0(q, \varphi_0, m)$  по  $q$  и  $\varphi_0$ , из условий

$$\partial \lambda_0 / \partial q = \partial \lambda_0 / \partial \varphi_0 = 0, \quad (11)$$

находим число  $q^0$  и "наиболее слабую" образующую  $\varphi_0^0$ .

Однородная задача в нулевом приближении имеет решение в виде:

$$\mathbf{X}_0(\xi) = P_0(\xi) \mathbf{Y}^0,$$

где  $P_0(\xi)$  - неизвестный полином, а  $\mathbf{Y}^0 = (1, -A_{011}/A_{012})$ .

При  $j = 1$  система уравнений (9) является неоднородной. Но при условиях (10), (11) она обращается в систему тождеств.

Условие совместности системы (9) при  $j = 2$  приводит к соотношению для вычисления параметра  $a$ :

$$a = i(\lambda_{\varphi\varphi}^0 / \lambda_{qq}^0)^{1/2},$$

а также к уравнению относительно  $P_0(\xi)$ :

$$\frac{d^2 P_0}{d\xi^2} + ia \left[ 2\xi \frac{dP_0}{d\xi} + P_0 \right] + \frac{2\lambda_1}{\lambda_{qq}^0} P_0 + \frac{2\pi q^6}{\lambda_{qq}^0(1 + \kappa q^2)} P_0 = 0, \quad (12)$$

где  $\lambda_{\varphi\varphi}^0$  и  $\lambda_{qq}^0$  - вторые производные частотного параметра нулевого приближения по соответствующим параметрам при  $\varphi = \varphi_0^0$  и  $q = q^0$ .

При  $\lambda_1 = \lambda_1^{(n)} = (1/2 + n) \sqrt{\lambda_{qq}^0 \lambda_{\phi\phi}^0 + \tau q^6 / (1 + \kappa q^2)}$  уравнение (12) имеет решение в виде полинома Эрмита степени  $n$ :

$$P_0(\xi) = H_n(\vartheta), \quad \vartheta = \sqrt{c} \xi, \quad c = -ia$$

Пример. В качестве примера рассмотрим тонкую некруговую трехслойную цилиндрическую оболочку эллиптического сечения с полуосями  $b=0,03$  м,  $a=0,015$  м ( $a < b$ ), постоянной длины  $L=0,45$  м. В данном случае "наиболее слабыми" будут две образующие, проходящие через точки, где радиус кривизны поперечного сечения наименьший. Первый и третий слои имеют одинаковую толщину  $h_1=h_3$  и

изготовлены из керамики с модулем Юнга  $E_1=E_3=1,52 \cdot 10^{12}$  Па, плотностью  $\rho_1=\rho_3=2510$  кг/м<sup>3</sup> и числом Пуассона  $\nu_1=\nu_3=0,3$ . Межслойный наполнитель

изготовлен из фторопласта с  $E_2=2,34 \cdot 10^8$  Па,  $\rho_2=2150$  кг/м<sup>3</sup>,  $\nu_2=0,3$ .

Будем считать здесь, что керамические слои подчиняются закону упругих деформаций, а межслойный наполнитель – закону вязкоупругих деформаций.

Тогда  $R_1 = R_3 = 0$ , а ядро скорости релаксации напряжений для фторопласта [4]

$$R_2 = 0,02366 e^{-3,33 \cdot 10^{-4} t} t^{-0,95}$$

Выполняя преобразование Лапласа функции  $R_2$ , находим:

$$c_2 = \frac{0,02366 \Gamma(0,05)}{(i\omega - \alpha + 3,33 \cdot 10^{-4})^{0,05}}$$

где  $\Gamma(x)$  – Гамма- функция.

На рисунках 1,2 представлены графики параметров  $\omega$ ,  $\alpha$ , как функций относительной толщины наполнителя  $h_2/h$  при  $h_1 = h_3 = 0,0001$  м и различных значениях  $m$ . Цифрами 1, 2, 3 отмечены кривые, отвечающие волновым числам  $m=1, 2, 7$  соответственно.

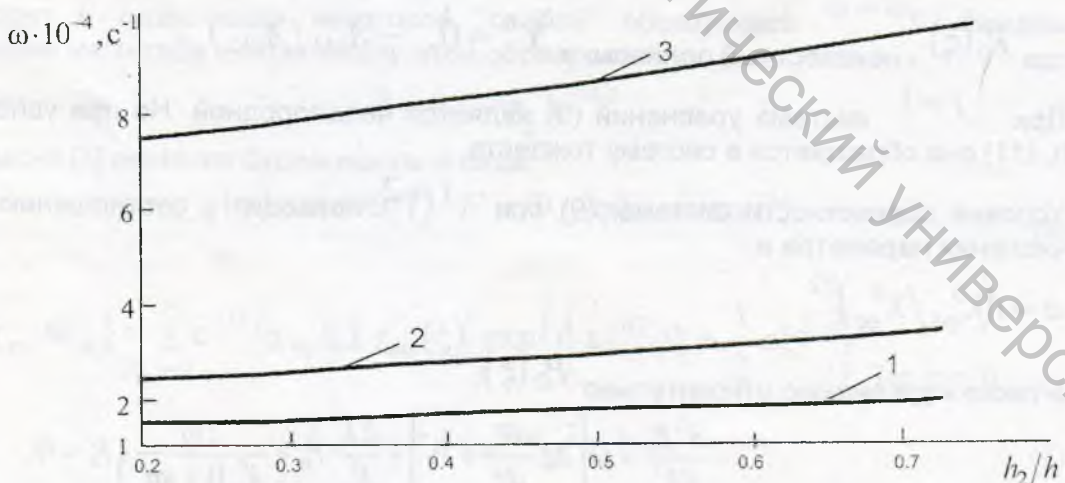


Рисунок 1 - Собственная частота колебаний

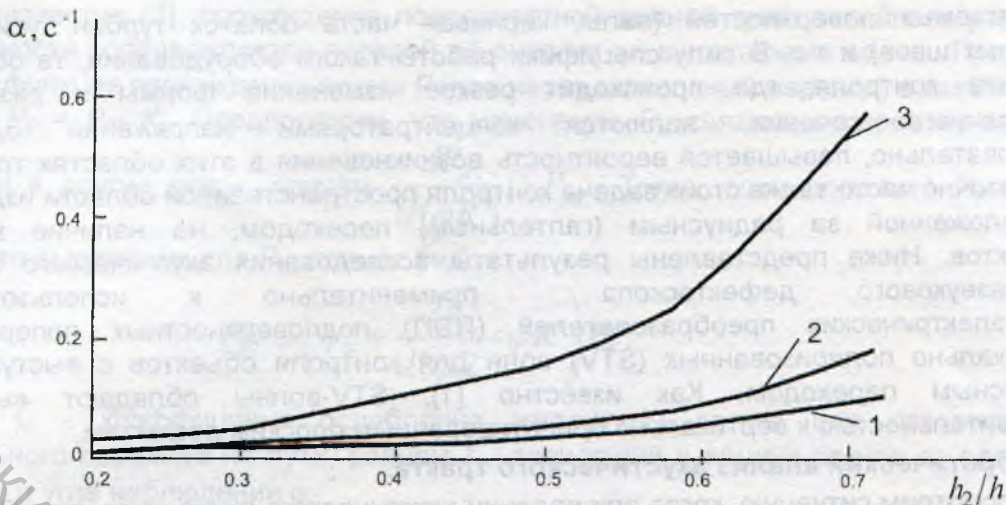


Рисунок 2 - Декремент колебаний

В рассмотренном диапазоне изменения  $0,2 < h_2/h \leq 0,73$  собственная частота  $\omega$  возрастает с ростом  $h_2$ . Как и ожидалось, увеличение толщины заполнителя также приводит к росту декремента колебаний  $\alpha$ .

Результаты работы могут быть использованы при проектировании тонкостенных элементов машин, а также габаритных тонкостенных инженерных сооружений в промышленном строительстве, летательных аппаратов и подводных тонкостенных объектов.

#### Список использованных источников

1. Ботогова, М.Г. Свободные колебания слоистых вязкоупругих цилиндрических оболочек / М.Г. Ботогова, Г.И. Михасев, Е.А. Корчевская // Вестн. Полоц. гос. ун-та. Сер. С, Фунд. науки. Механика. – 2006. – № 10. – С. 125–133.
2. Григолюк, Э.И. Многослойные армированные оболочки: расчет пневматических шин / Э.И. Григолюк, Г. М. Куликов. – М.: Машиностроение, 1988. – 288 с.
3. Товстик, П. Е. Устойчивость тонких оболочек: асимптотические методы / П.Е. Товстик. – М.: Наука. Физматлит, 1995. – 320 с.
4. Старовойтов, Э.И. Локальные и импульсные нагрузки трехслойных элементов конструкций / Э.И. Старовойтов, А.В. Яровая, Д.В. Леоненко. – Гомель: БелГУТ, 2003. – 367 с.

#### SUMMARY

Using the asymptotic complex WKB- method free vibrations of the laminated composite non-circular cylindrical shell with viscoelastic filler is investigated. The natural vibration frequencies were found.

УДК 620.179

### ФОРМИРОВАНИЕ АКУСТИЧЕСКОГО ПОЛЯ ПРЕОБРАЗОВАТЕЛЯ ПОДПОВЕРХНОСТНЫХ ВОЛН В ОБЪЕКТАХ С ГАЛТЕЛЬНЫМИ ПЕРЕХОДАМИ

*А.Р. Баяев, М.В. Асадчая, К.А. Филиппов*

Для значительного числа объектов тепловой энергетики, химического машиностроения и других отраслей промышленности характерно наличие таких геометрических элементов, как различные выступы, радиусные переходы